

## Development of Artificial Intelligence Committee Machine for Transmissivity Estimation, Case study:Tasuj Plain

A. Nadiri<sup>1</sup>, A. Asghari Moghaddam<sup>2\*</sup>,  
H. Abghari<sup>3</sup> and E. Fijani<sup>1</sup>

### Abstract

Hydrogeological parameters like transmissivity are among the important and money-consuming input parameters of ground water modeling. Fuzzy logic, Artificial Neural Networks, and Neurofuzzy has high capability in hydrogeological parameter estimation. In this research combination of these models applied to transmissivity estimation of Tasuj aquifer. Tasuj plain aquifer is one of the marginal plains of Lake Urmia which suffered more ground water declination in last decades and needs qualitative and quantitative management. To overcome the complexity of hydrogeologic systems, Hybrid Artificial Intelligence Modelis then presented as a committee machine. Based on the outputs, weights of each models optimized using particle swarm optimization which caused to form committee machine. Related geophysical and hydrogeological variables to transmissivity such as transverse resistivity ( $R_t$ ), electric conductivity (EC), alluvium thickness (B), and geographic location were among inputs to this study. The obtained results from presented committee machine showed higher efficiency compared to the Fuzzy logic, Artificial Neural Network, and Neurofuzzy models, individually.

توسعه مدل‌های هوش مصنوعی مرکب در برآورد قابلیت انتقال آبخوان، مطالعه موردی: دشت تسوج

عطالله ندیری<sup>۱</sup>، اصغر اصغری مقدم<sup>۲\*</sup>،  
هیراد عقری<sup>۳</sup> و الهام فیجانی<sup>۱</sup>

### چکیده

پارامترهای هیدرولوژیکی از جمله قابلیت انتقال یکی از مهمترین پارامترهای ورودی در مدل‌سازی آبهای زیرزمینی است که عموماً تعیین آن برای نقاط مختلف آبخوان با هزینه‌های فراوانی انجام می‌گیرد. آبخوان دشت تسوج یکی از آبخوانهای حاشیه دریاچه ارومیه می‌باشد که در دهه اخیر با افت سطح آب زیرزمینی مواجه شده و نیازمند مدیریت کمی و کیفی است. بنابراین، در این تحقیق به عنوان مرحله اول، از مدل‌های منطق فازی، شبکه عصبی مصنوعی و نوروفازی برای برآورد قابلیت انتقال استفاده شد. سپس با توجه به پیچیدگی سیستم‌های هیدرولوژیکی، در این مطالعه روش ترکیبی از مدل‌های هوش مصنوعی پیشنهاد شده است که مدل هوش مصنوعی مرکب (Committee machine (CM)) خوانده می‌شود. با توجه به این که هر یک از مدل‌های فازی، شبکه عصبی مصنوعی و نوروفازی توانایی‌هایی در برآورد پارامترهای هیدرولوژیکی نشان داده‌اند، لذا در این روش ترکیبی از این مدل‌ها برای پیش‌بینی قابلیت انتقال استفاده شده است. به طوری که خروجی هر مدل با وزن بهینه شده بوسیله روش الگوریتم بهینه‌سازی جامعه ذرات، به خروجی مدل ترکیبی ارائه شده انجامید. در این مطالعه از متغیرهای ژئوفیزیکی و هیدرولوژیکی مرتبط با قابلیت انتقال مانند مقاومت عرضی ( $R_t$ )، هدایت الکتریکی (EC) و ضخامت آبخوان (B) و همچنین موقعیت جغرافیایی به عنوان ورودی برای برآورد قابلیت انتقال استفاده شد. بر اساس نتایج بدست آمده مدل ترکیبی پیشنهاد شده نسبت به هریک از مدل‌های فازی، شبکه عصبی مصنوعی و نوروفازی نتایج بهتری نشان دادند.

**کلمات کلیدی:** آبخوان دشت تسوج، منطق فازی، قابلیت انتقال، شبکه عصبی مصنوعی، مدل هوش مصنوعی مرکب، نوروفازی.

**Keywords:** Tasuj Plain, Fuzzy logic, Transmissivity, Artificial neural network, Committee machine, Neurofuzzy.

Received: May 28, 2012

Accepted: October 3, 2012

تاریخ دریافت مقاله: ۸ خرداد ۱۳۹۱

تاریخ پذیرش مقاله: ۱۲ مهر ۱۳۹۱

1- PhD student, Department of Geology, University of Tabriz, Tabriz, Iran.  
Email:Nadiri@tabrizu.ac.ir

2- Professor of Department of Geology, University of Tabriz, Tabriz, Iran.

3- Assistant professor of Department of Watershed Management, Urmia University, Urmia, Iran.

\*- Corresponding Author

۱- دانشجوی دکتری هیدرولوژی، دانشگاه تبریز، تبریز، ایران.

۲- استاد دانشکده علوم طبیعی، دانشگاه تبریز، تبریز، ایران.

۳- استادیار دانشکده منابع طبیعی دانشگاه ارومیه، ارومیه، ایران.

\*- نویسنده مسئول

## ۱- مقدمه

جمله می توان به Abbaspour et al. (2001) اشاره کرد که با استفاده از بهینه سازی با روش کلونی مورچه، هدایت هیدرولیکی را در محیط متخلخل با تخمینی مناسب به دست آوردند. پس از آنها Li et al., (2006) با به کارگیری کلونی مورچه و کلونی مورچه ترکیبی با شبیه سازی آنیلینگ توانستند روش مناسبی برای تعیین پارامترهای هیدرولوژیکی آبخوان ارائه دهند. Li and Liu (2005) از شبکه های عصبی مصنوعی برای تخمین هدایت هیدرولیکی بر اساس سطح آب زیرزمینی در چهار پیزومتر نزدیک به هم در محل سد باشان (Baishan) در چین استفاده کردند و نتایج نسبتاً دقیقی به دست آوردند.

Samani et al. (2007) از شبکه های عصبی مصنوعی (MLP-GDX) برای تحلیل داده های پمپاژ و به دست آوردن پارامترهای آبخوان استفاده کردند. Mategaonkar and Eldho (2012) از الگوریتم بهینه سازی جامعه ذرات برای بهسازی آب زیرزمینی استفاده کردند. اخیراً تحقیقات فراوانی بر روی مقایسه کارایی روش های هوش مصنوعی در برآورد و پیش بینی زمانی و مکانی پارامترها و یا پدیده های هیدرولوژیکی انجام گرفته است. از آن جمله می توان به اصراری مقدم و همکاران (Shiri and Kişi ۲۰۱۱) و (Chen and Lin, 2006; Kadkhodaie-Ikhchi, et al., 2009) کرد. Shiri and Kişi (2011) نیز در مطالعه خود دو روش نوروفازی و برنامه نویسی ژنتیک برای پیش بینی تغییرات روزانه سطح آب زیرزمینی استفاده کردند. با توجه به اینکه هر یک از مدل های فوق توانایی های متفاوتی دارند، استفاده از روش های ترکیبی و مدل های هوش مصنوعی مرکب برای مطالعه سیستم های پیچیده می تواند کارآمد باشد. به طوری که بیشتر مطالعات در حیطه هوش مصنوعی به این سمت سوق پیدا کرده اند (Alyamani and Sen, 1993).

دشت تسوج یکی از دشت های حوضه دریاچه ارومیه محسوب می شود که شدیداً با بحران کاهش سطح آب زیرزمینی مواجه است (ندیری و همکاران، ۱۳۸۹) و با وجود مطالعات فراوانی مانند مطالعات تفصیلی و ژئوفیزیک که در سالهای اخیر در این دشت صورت گرفته است هنوز نیاز میرم به شناخت پارامترهای هیدرولوژیکی برای مدیریت منابع آب دارد. لذا در این تحقیق سعی گردید که با استفاده از داده های ژئوفیزیکی مرتبط با قابلیت انتقال، اقدام به برآورد این پارامتر با استفاده از مدل های هوش مصنوعی شود. هدف این تحقیق، مقایسه کارایی روش های فازی، شبکه های عصبی مصنوعی و نوروفازی و استفاده از مدل های هوش مصنوعی مرکب برای برآورد مقدار قابلیت انتقال در دشت تسوج می باشد.

یکی از مهم ترین اهداف مدل سازی جریان آب زیرزمینی پیش بینی رفتار آبخوان می باشد که انجام این مدل سازی مستلزم شناخت دقیق پارامترهای هیدرولوژیکی آبخوان است. قابلیت انتقال (T) که از حاصل ضرب هدایت هیدرولیکی (K) در ضخامت آبخوان بدست می آید یکی از این پارامترهای آبخوان است که بسیاری از خصوصیات جریان آب در محیط های متخلخل به مقادیر این پارامتر بستگی دارد. به علاوه، اندازه گیری این پارامتر در آزمایشگاه و صحرا بسیار پرهزینه و وقت گیر است. این پارامتر در آزمایشگاه به طور غیر مستقیم و با تعیین هدایت هیدرولیکی و با در دست داشتن ضخامت آبخوان و در صحرا به طور مستقیم به دست می آید. با توجه به اهمیت این پارامتر روش های بسیار متنوعی برای بدست آوردن این پارامتر در صحرا و آزمایشگاه توسعه پیدا کرده است. روش های صحرا یابی تعیین قابلیت انتقال و یا هدایت هیدرولیکی شامل آزمایش های پمپاژ، اسلام تست<sup>۱</sup> و آزمایش ردیابی می باشد. تاکنون سه روش متفاوت برای تعیین این پارامتر توسط اسلام تست (Bouwer and Rice, 1976; Bouwer, 1989; Hvorslev, 1951; Cooper et al., 1967 برای آزمایش های پمپاژ (Theis, 1935; Chow, 1952; Cooper and Jacob, 1946; Neuman, 1972) ارائه شده است.

برای تعیین این پارامتر در آزمایشگاه نیز تاکنون پنج روش مشهور شامل Hazen (1892), Shepherd (1989) Fair and Hatch (1933), Alyamani and Sen (1993) شده است. Sperry and Peirce (1995) پس از ارزیابی توانایی این روش های آزمایشگاهی و فرمول های تجربی ارائه شده، چنین نتیجه گرفتند که به جز برای محیط های دارای ذراتی با اشکال بسیار نامنظم، بهترین روش مربوط به فرمول تجربی Hazen (1892) Alyamani and Sen (1993) است و در حالت کلی فرمول تجربی به نتایج واقعی نزدیکتر می باشد. تمام روش های اخیر حاصل حل معادلات حاکم بر جریان آب زیرزمینی با روشها و با شرایط مرزی و قیود متفاوت یا فرمول های تجربی هستند. با توسعه مدل های هوش مصنوعی در علوم هیدرولوژی، روش های متنوعی برای تعیین پارامترهای هیدرولوژیکی توسعه پیدا کرده است. از جمله این روشها می توان به روش های متنوع بهینه سازی (الگوریتم ژنتیک، الگوریتم بهینه سازی جامعه ذرات، کلونی مورچه و کلونی مورچه ترکیبی با شبیه سازی آنلینگ<sup>۲</sup>) و روش های تخمین گری مانند فازی، شبکه های عصبی مصنوعی و نوروفازی اشاره کرد. اخیراً مطالعات فراوانی بر روی مقایسه کارایی روش های هوش مصنوعی در برآورد پارامترها یا پیش بینی پدیده های هیدرولیکی انجام گرفته است. از آن

## ۲- مواد و روشها

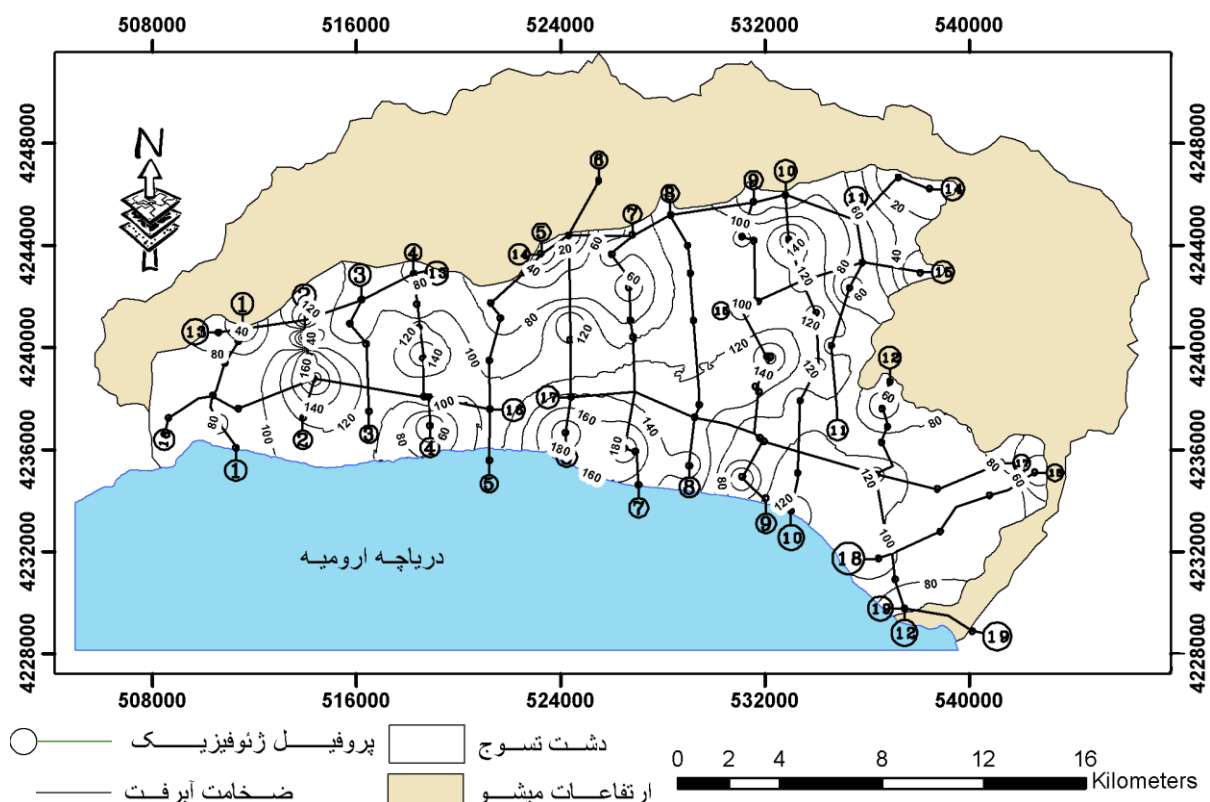
### ۱- منطقه مورد مطالعه

آذربین، دگرگونی و رسوی به چشم می‌خورد و در این گستره سازندهای زمین شناسی از پرکامبرین تا عهد حاضر رخنمون دارند. گسلهای بسیاری در منطقه وجود دارد که برخی از آنها حتی آبرفت‌های دوران چهارم را قطع می‌کنند. برخی از این گسلها خیلی ژرف بوده و تا پی سنگ کشیده می‌شوند. از مهمترین این گسلها می‌توان گسل تسوج، قزلجه و انگشتجان را نام برد.

### ۲- تجزیه و تحلیل داده

در محدوده دشت تسوج ۱۴۶ چاه بهره برداری مجاز وجود دارد که در بیشتر این چاهها آزمایش پمپاژ پله‌ای توسط امور آب شهرستان تسوج و سازمان نظام مهندسی استان آذربایجان شرقی و در پنج حلقه از این چاهها آزمایش پمپاژ با دبی ثابت توسط سازمان آب منطقه‌ای آذربایجان شرقی انجام گرفته است. تعداد معددی از این چاهها که مقادیر قابلیت انتقال در آنها از دقت کمی برخوردار بود براساس لاغ چاهها و داده‌بندی آنها از روی مقادیر هدایت هیدرولیکی تجربی ارائه شده توسط Todd and Mays (2005) برای خاک‌های مختلف و نتایج مطالعات ژئوفیزیک تصحیح یا حذف گردید.

دشت تسوج در فاصله حدود ۱۰۰ کیلومتری شمال غرب شهر تبریز قرار گرفته است (شکل ۱). حوضه مورد مطالعه مساحتی بالغ بر ۵۵۹ کیلومتر مربع را در بر گرفته است که دشت تسوج تنها ۲۵۶ کیلومتر مربع را شامل می‌شود و آبخوان آزاد موجود در این دشت به عنوان منبع اصلی آب جهت شرب و کشاورزی می‌باشد. منطقه از جنوب به دریاچه ارومیه، از شمال به محدوده مرند، ارتفاعات میشو، از شرق به شبستر و از غرب به سلاماس محدود شده است. بلندترین نقطه منطقه در کوه علمدار دارای ارتفاع ۳۱۱۳ متر از سطح دریا است و ارتفاع منطقه در ساحل دریاچه ۱۲۷۴ متر می‌باشد. میزان متوسط سالانه ریزش‌های جوی در ایستگاه تسوج ۲۳۲/۷ میلی‌متر در سال در طول بازه زمانی ۱۳۷۹-۱۳۸۸ گزارش شده است. اقلیم منطقه نیمه خشک سرد می‌باشد و درجه حرارت حوضه در ایستگاه تسوج بین  $11^{\circ}\text{C}$  و  $33^{\circ}\text{C}$  درجه سانتی‌گراد متغیر می‌باشد. براساس زون‌بندی‌های زمین‌ساختی در ایران، محدوده مطالعاتی تسوج در ادامه شمال باختی زون زمین ساختی ایران مرکزی و زون تکتونیکی سندنج - سیرجان و جنوب واحد زمین ساختی البرز - آذربایجان قرار دارد. به طور کلی تنوع سازندها در منطقه بسیار زیاد و هر سه گروه سنگهای



شکل ۱- موقعیت منطقه مطالعاتی و پروفیل ژئوفیزیکی و خطوط هم ضخامت آبرفت

بوسیله وزن دهی برای ایجاد مدل هوش مصنوعی مرکب (CM) برای برآورد قابلیت انتقال به کار گرفته شده است که در زیر به توصیف کلی این روشها پرداخته می شود:

### ۱-۳-۲- منطق فازی<sup>۲</sup> (FL)

اساس تئوری فازی برای اولین بار توسط زاده در سال ۱۹۶۵ معرفی گردید و در سالهای اخیر توانایی بالایی در کاهش خطای برآورده نسبت به روش احتمالاتی نشان داده است. روش فازی روشی مناسب جهت کاهش خطای برآورده و انسانی نسبت به تئوری های قبل اعتماد دیگر ارائه کرده است (Nikravesh and Aminzadeh, 2003). داده های هیدروژئولوژیکی عموماً دارای خطای برآورده ذاتی است و داده های صریح و بدون خطای حساب نمی آید. برای مثال، به دست آوردن قابلیت انتقال از آزمایش پمپاژ دارای خطای غیر قابل اغماض است. لذا این روش می تواند به عنوان روشی کارا در کاهش این خطای برآورده دقیق پارامترهای هیدروژئولوژیکی محسوب شود.

هر سیستم فازی شامل سه بخش اصلی است : (الف) فازی کردن داده ها که این عمل با تعریفتابع عضویت انجام می شود، (ب) ایجاد ارتباط بین ورودی و خروجی که این کار نیز با یک سری قوانینی مانند اگر آنگاه (if-then) انجام می شود، (ج) مرحله آخر، بررسی سیستم است که به دو روش ممدا نی یا ساگتو قابل اجراست. تفاوت این دو روش در خروجی آنهاست که در روش ساگتو برخلاف روش ممدا نی تابع عضویت خروجی سیستم فازی به صورت ثابت یا رابطه خطی است که توسط روش دسته بندی به دست می آید.

### ۲-۳-۲- شبکه های عصبی مصنوعی

شبکه های عصبی مصنوعی یک سیستم پردازشگر اطلاعات توده ای هستند که به صورت موازی قرار گرفته اند و عملکردی شبیه شبکه عصبی مغز انسان دارند (Hopfield, 1982). اصول زیر نشانگر اساس شبکه های عصبی مصنوعی می باشند:

بر اساس مطالعات ژئوفیزیک انجام گرفته در این دشت، داده های مقاومت ظاهری، نقشه هم ضخامت رسوبات آبرفتی در دسترس است (مهندسین مشاور صحراء کاو، ۱۳۸۷). مقاومت ظاهری دارای دو مؤلفه اصلی مقاومت عرضی ( $R_T$ ) و مقاومت طولی ( $R_L$ ) می باشد که به ترتیب تغییرات هیدروژئولوژیکی عمقی و جانبی را نشان می دهد. بنابراین مقاومت عرضی با مقادیر قابلیت انتقال مرتبط است (Maillet, 1947; Harb et al, 2010) (EC) می توان مقادیر مقاومت عرضی با هدایت الکتریکی (EC) را نیز از پارامترهای مرتبط با مقادیر قابلیت انتقال دانست (Valcarce and Rodríguez, 2004). لذا بر این اساس، ورودی مدل های به کار رفته عبارت از مقاومت عرضی، ضخامت رسوبات آبرفتی (B)، موقعیت جغرافیایی و هدایت الکتریکی (EC) بودند. جدول ۱ نشانگر خصوصیات آماری پارامترهای ورودی است. با توجه به این که مدل های هوش مصنوعی عموماً به داده های ورودی حساس بوده و کاهش ورودی های مدل باعث کاهش پیچیدگی این مدل ها می شود، لذا موقعیت جغرافیایی (UTM) با تغییراتی اعمال شد. به طوری که بر اساس رابطه (۱) مبدأ طول و عرض جغرافیایی به  $X_{\min}$  و  $Y_{\min}$  و  $O$  گردید.

$$O = \sqrt{(X - X_{\min})^2 + (Y - Y_{\min})^2} \quad (1)$$

در این تحقیق برای مدل های فازی، نوروفازی، و شبکه های عصبی مصنوعی داده های ورودی و هدف به دو دسته آموزش و آزمایش تقسیم گردید. به طوری که برای  $10^9$  داده مرحله آموزش و  $25$  داده برای مرحله آزمایش استفاده شد.

### ۲-۳-۳- مدل های هوش مصنوعی مرکب

در این تحقیق برای استفاده همزمان از کارایی مدل های هوش مصنوعی مختلف مدل های هوش مصنوعی مرکب استفاده شده است. به طوری که روش های فازی، شبکه های عصبی مصنوعی و نوروفازی برای برآورد قابلیت انتقال در دشت تسوج استفاده شدند و الگوریتم بهینه سازی جامعه ذرات برای ترکیب نتایج این مدل ها

جدول ۱- خصوصیات آماری پارامترهای ورودی

پارامتر	واریانس	انحراف از معیار	متوسط	بیشینه	کمینه
$O$ (m)	۴۱۰.۶۸۹۹۴	۶۴۰.۸/۵۰	۲۶۰.۲۹/۲	۳۶۹۹۱/۰۸	۱۱۰.۷۲/۱۹
EC ( $\mu\text{moh}/\text{cm}$ )	۲۳۷۴۷۰/۳	۴۸۷/۳۰	۱۶۰.۳/۴۲	۳۱۵۳/۶۷	۷۰۰
$R_t$ (Ohm-m)	۱۶۸۸۶.۰۲	۱۲۹۹/۴۶	۲۵۵۱/۲۰	۵۰۷۰/۵۴	۶۲۵/۰.۸
$B$ (m)	۳۸۹/۶۴	۱۹/۷۳	۱۰۷/۳۶	۱۸۲/۳۹	۴۴/۲۹
$T$ ( $\text{m}^2/\text{d}$ )	۱۸۷۴/۲	۴۷/۲۹	۸۴/۹۷	۲۱۵	۱۳/۱

### ۳-۳-۲- روش نوروفازی<sup>۹</sup> (NF)

این روش در حقیقت ترکیبی از روش فازی و شبکه عصبی مصنوعی می‌باشد و از مزایای هر دو روش استفاده می‌کند. به طوری که از شبکه عصبی مصنوعی برای تعیین قوانین و از فازی برای تعیین توابع عضویت استفاده می‌شود. در این روش شبکه عصبی مصنوعی به جای بهینه کردن وزنها، قوانین فازی را بهینه می‌کند. در روش نوروفازی تنها می‌توان از روش فازی ساگنو که خروجی آن ثابت یا خطی است، سود جست.

### ۴-۳-۱- الگوریتم بهینه‌سازی جامعه ذرات<sup>۱۰</sup> (PSO)

بهینه‌سازی جامعه ذرات از روشهای بهینه‌سازی فراکاوشی است که اخیراً در مسائل علوم مهندسی آب به طور وسیعی استفاده شده است. روش بهینه‌سازی PSO اولین بار توسط PSO (Kennedy and Eberhart 1995) معرفی گردید. اساس PSO شیوه‌سازی یک رفتار دسته جمعی است که از آن برای نشان دادن حرکت گروه پژوهان و ماهیان استفاده می‌شود. اساس کار PSO بر این موضوع استوار است که در هر لحظه، ذره مکان خود را در فضای جستجو با توجه به بهترین مکانی که تاکنون در آن قرار گرفته و بهترین مکانی که در کل همسایگی وجود دارد، تنظیم می‌کند.

در یک فضای جستجوی  $D$  بعدی، سرعت و موقعیت هر ذره با روابط (Shi and Eberhart, 1999):  
(۳و۲) تعیین می‌شود:

$$V_{i,d}^{n+1} = w \cdot V_{i,d}^n + c_1 r_{1,i,d}^n (pbest_{i,d}^n - x_{i,d}^n) + c_2 r_{2,i,d}^n (gbest_{i,d}^n - x_{i,d}^n) \quad (2)$$

$$X_{i,d}^{n+1} = X_{i,d}^n + V_{i,d}^{n+1} \quad (3)$$

که در آن  $V_{i,d}^n$  سرعت ذره  $i$  در تکرار فعلی،  $V_{i,d}^{n+1}$  سرعت ذره  $i$  در تکرار جدید،  $x_{id}^n$  موقعیت کنونی ذره،  $x_{id}^{n+1}$  موقعیت ذره در تکرار جدید،  $pbest$  بهترین موقعیتی که ذره  $i$  تاکنون اختیار کرده است،  $gbest$  بهترین موقعیت بهترین ذره (بهترین موقعیتی که تمام ذرات تاکنون اختیار کرده‌اند)،  $d = 1, 2, \dots, D$ ، که  $d$  اندازه ابعاد فضای جستجو می‌باشد؛  $w$ ، اینرسی وزنی<sup>۱۱</sup> نامیده می‌شود؛  $c_1$  و  $c_2$  دو ضریب ثابت و مثبت می‌باشند که به ترتیب پارامترهای شناختی و اجتماعی خوانده می‌شوند.

۱- پردازش داده‌ها در واحدهای منفردی به نام نرون صورت می‌گیرد. ۲- سیگنال‌های بین نرون‌ها از طریق خطوط ارتباطی انتقال می‌باشند. ۳- وزن نسبت داده شده به هر خط ارتباطی نشانگر قدرت ارتباطی آن خط است. ۴- هر نرون به طور معمول دارای توابع فعال‌سازی<sup>۱۲</sup> و تبدیل‌گر برای تعیین سیگنال‌های خروجی از داده‌های ورودی شبکه می‌باشد.

ساختار شبکه‌های عصبی مصنوعی بوسیله الگوی ارتباط بین نرون‌ها، روش تعیین وزنهای ارتباطی و تابع انتقال، معرفی می‌شود. ساختار عادی یک شبکه عصبی مصنوعی، معمولاً از لایه ورودی، لایه‌های میانی (مخفي) و لایه خروجی تشکیل شده است. لایه ورودی یک لایه انتقال‌دهنده و وسیله‌ای برای تهیه کردن داده‌های انتقال دهنده است. آخرین لایه یا لایه خروجی شامل مقادیر پيش‌بینی شده بوسیله شبکه می‌باشد و بنابراین خروجی مدل را معرفی می‌کند.

لایه‌های میانی یا مخفی که از نرون‌های پردازشگر تشکیل شده‌اند، محل پردازش داده هاست. تعداد لایه‌های مخفی و نرون‌ها در هر لایه مخفی به طور معمول بوسیله روش آزمون و خطا مشخص می‌شود. نرون‌های لایه‌های مجاور در شبکه به طور کامل با هم در ارتباط هستند. شبکه‌های عصبی مصنوعی به روشهای مختلفی مانند چگونگی ارتباط نرون‌ها و حرکت داده‌ها در شبکه دسته‌بندی می‌شوند (اصغری مقدم و همکاران، ۱۳۸۷). در این تحقیق، از شبکه پرسپترون چند لایه که یکی از شبکه‌های پیشرو<sup>۱۳</sup> (FFN) می‌باشد، استفاده شد که در این شبکه‌ها اطلاعات از ورودی به طرف خروجی حرکت می‌کنند. نرون‌های موجود در یک لایه به هم مرتبط نمی‌شوند بلکه نرون‌ها در یک لایه به لایه بعدی ارتباط می‌باشند. بنابراین خروجی یک نرون در یک لایه به سیگنالی که از لایه قبلی دریافت می‌کند، وزن تعیین شده برای آن و نوع تابع تبدیل‌گر بستگی دارد.

مراحل انجام شده در یک شبکه توسط الگوریتم‌های ریاضی متفاوت صورت می‌گیرد که مهمترین آنها عبارتند از: ۱- الگوریتم انتشار خطا به عقب<sup>۱۴</sup> (BP)، ۲- الگوریتم گرادیان مزدوج<sup>۱۵</sup> (CG)، ۳- الگوریتم لونبرگ-مارکوارت<sup>۱۶</sup> (LM)، که از این میان الگوریتم LM کارترین الگوریتم محسوب می‌شود (ASCE, 2000). اطلاعات بیشتری در مورد روش شبکه‌های عصبی مصنوعی را می‌توان در تحقیقات اخیر افرادی چون Maier and Dandy (2000) و Maier et al. (2010) یافت.

Haykin, 1991; Geman et al., 1992; Naftaly et al., 1997; Huang et al., 2001; Lim, 2005 and Chen and Lin, 2006; Kadkhodaie-Ikhchi et al., 2009; Karimpouli et al., 2010) می‌توان اصول کلی آن را می‌توان به صورت زیر توضیح داد:

$$\epsilon[e_i^2] = E_i = \epsilon[(\hat{T}_i - T)^2] \quad (5)$$

با فرض وجود  $i$  سیستم پیش‌بینی  $K$  بردار هدف و  $\hat{T}_i$  خروجی هر سیستم و در نتیجه  $e_i$  برای مقادیر مشاهداتی منهای محاسباتی خواهد بود و در رابطه فوق  $\epsilon[\cdot]$  ایدیریاضی است و متوسط خطای هر یک از سیستم‌های هوش مصنوعی به صورت رابطه (6) حساب می‌شود:

$$E_{avg} = \frac{1}{k} \sum_{i=1}^k E_i = \frac{1}{k} \sum_{i=1}^k [e_i^2] \quad (6)$$

که در رابطه فوق  $k$  تعداد سیتم‌های استفاده شده،  $E_i$  خطای هر سیستم و  $E_{avg}$  متوسط خطای هر سیستم می‌باشد. لذا با اعمال  $\hat{T}_i$  روش متوسطگیری از بردار خروجی هر یک از سیستم پیش‌بینی  $\hat{T}_i$  خروجی مدل هوش مصنوعی مرکب  $\hat{T}_{CM}$  به صورت رابطه ۷ خواهد بود:

$$\hat{T}_{CM} = \frac{1}{k} \sum_{i=1}^k \hat{T}_i \quad (7)$$

بنابراین برای مربع خطای مدل هوش مصنوعی مرکب خواهیم داشت:

$$E_{CM} = \epsilon[(\hat{T}_{CM} - T)^2] = \epsilon[(\frac{1}{k} \sum_{i=1}^k \hat{T}_i - T)^2] = \epsilon[(\frac{1}{k} \sum_{i=1}^k e_i)^2] \quad (8)$$

با در نظر گرفتن نا معادله کاچی<sup>۱۲</sup> در رابطه (۹) می‌توان نشان داد بر اساس رابطه (۱۰) مدل هوش مصنوعی مرکب کمترین خطای را نسبت به هر یک از مدل‌های استفاده شده خواهد شد.

$$(a_1 b_1 + a_2 b_2 + \dots + a_n b_n)^2 \leq (a_1^2 + a_2^2 + \dots + a_n^2) \times \quad (9)$$

$$(b_1^2 + b_2^2 + \dots + b_n^2)$$

$$E_{CM} = \epsilon[(\frac{1}{k} \sum_{i=1}^k \hat{T}_i - T)^2] \leq (\frac{1}{k}) \sum_{i=1}^k [e_i^2] = E_{avg} \quad (10)$$

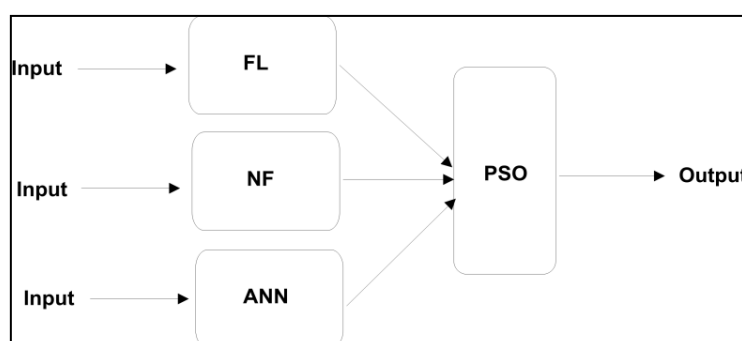
همانطور که گفته شد اینرسی وزنی، جهت کنترل تأثیر سوابق سرعت‌های پیشین بر روی سرعت کنونی مورد استفاده قرار می‌گیرد. بنابراین پارامتر  $W$ ، قابلیت گروه را در اکتشاف مناطق بهینه فرآگیر و محلی، و استخراج جواب بهینه، تنظیم می‌کند. نتایج تجربی نشان داده که بهتر است در ابتدا، جهت بهبود اکتشاف فرآگیر، مقدار زیادتری برای اینرسی وزنی  $W$  در نظر گرفته شود و به تدریج بهبود در استخراج راه حل بهینه، از مقدار آن کاسته شود (Shi and Eberhart, 1998, 1999). بنابراین می‌توان برای تعیین اینرسی وزنی از رابطه (۴) استفاده نمود:

$$W = W_{Max} \frac{(W_{Max} - W_{Min}) \times n}{iTer_{Max}} \quad (4)$$

که در آن  $W_{Max}$  میزان اولیه اینرسی وزنی،  $W_{Min}$  میزان نهایی اینرسی وزنی،  $iTer_{Max}$  حداکثر تعداد تکرارها و  $n$  نیز شماره تکرار جاری می‌باشد. میزان مناسب پارامترهای  $c_1$  و  $c_2$  در رابطه (۲)، می‌تواند افزایش سرعت همگرایی و بهبود جواب محلی را نتیجه دهد.

### ۵-۳-۲- مدل هوش مصنوعی مرکب (CM)

یک مدل هوش مصنوعی مرکب از گروهی از مدل‌های هوش مصنوعی تشکیل می‌شود که خروجی‌های مدل‌ها را ترکیب کرده و نتایج بهتری نسبت به هر یک از مدل‌ها ارائه شده در این دیاگرام شماتیکی از مدل هوش مصنوعی مرکب ارائه شده در این تحقیق را نشان می‌دهد. روش‌های مختلفی برای ترکیب مدل‌های هوش مصنوعی وجود دارد که روش متوسطگیری تجمعی ساده از مشهورترین آنها به حساب می‌آید (Naftaly et al., 1997; Chen and Lin, 2006). در این تحقیق برای ترکیب وزنی روش‌های مختلف از روش الگوریتم بهینه سازی جامعه ذرات استفاده شده است. براساس مطالعات انجام گرفته در زمینه مدل‌های هوش مصنوعی مرکب (Bates and Granger, 1969;



شکل ۲- دیاگرام شماتیکی از مدل هوش مصنوعی مرکب ارائه شده

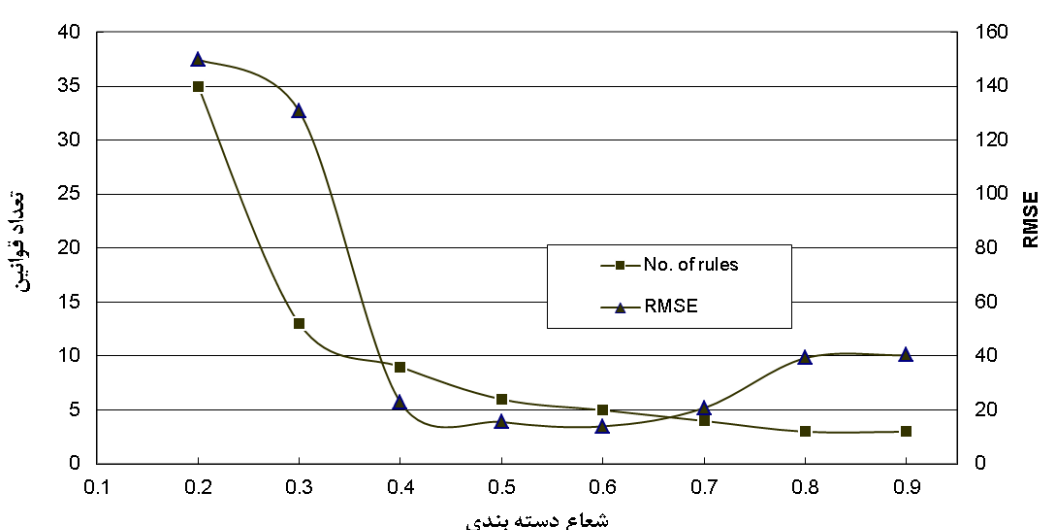
### ۳- نتایج و بحث

#### ۱-۳- مدل فازی

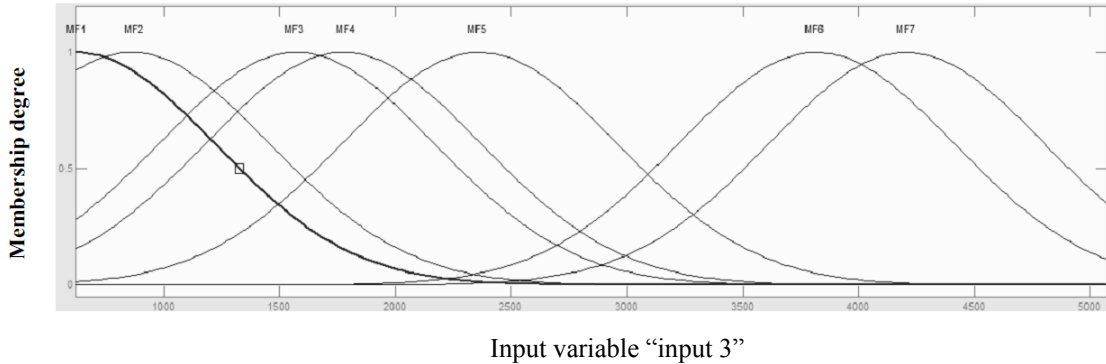
همانگونه که در قسمت روش‌شناسی گفته شد از بین روش‌های فازی به دلیل اینکه قابل مقایسه با روش نوروفازی باشد از روش ساگنو استفاده شد. اولین مرحله در این روش دسته‌بندی داده‌ها و تعیین توابع عضویت است که در این تحقیق از روش کاهشی (subtractive) برای مدل‌سازی فازی استفاده شد که روشهای کارا و مفید در دسته‌بندی داده‌ها و تعیین توابع عضویت و قوانین در تحقیقات اخیر بوده است (Chiu, 1994; Jarrah and Halawani, 2001). پارامتر اصلی در این روش دسته‌بندی برای تعیین دسته‌ها و قوانین اگر-آنگاه شاعع دسته بندی است. مقادیر این پارامتر بین صفر و یک می‌باشد. کاهش این پارامتر باعث افزایش دسته‌ها و قوانین و افزایش آن به سمت یک باعث کاهش دسته‌ها و قوانین خواهد بود (Chiu, 1994). بازده مدل فازی بستگی به تعیین شاعع بینه دسته‌بندی دارد که بر اساس شکل ۳ مقدار بینه آن  $\frac{1}{4}$  تعیین شد. بر این اساس ۷ قانون اگر-آنگاه و تابع عضویت تعیین شد. شکل ۴ نمونه‌ای از توابع عضویت داده‌های ورودی و قوانین را نشان می‌دهد.

توابع عضویت استفاده شده برای مدل‌سازی فازی مقادیر هدایت هیدرولیکی تابع گوسی بود که به داده‌های دسته بندی شده برآش داده شد. تابع گوسی  $f(x)$  نشانگر توزیع نرمال داده‌ها است:

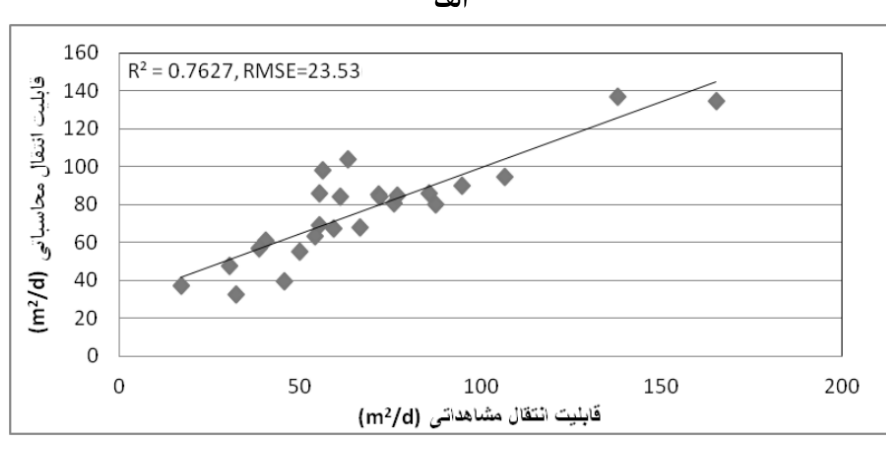
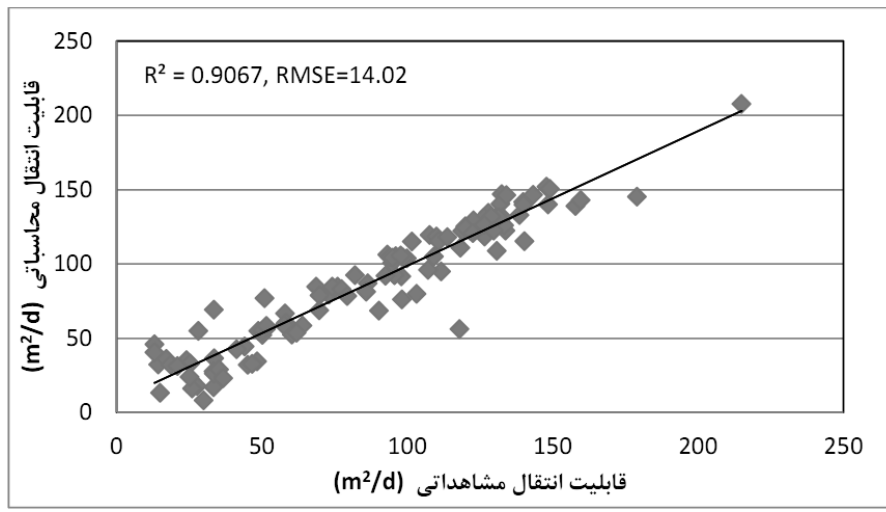
$$f(x) = \frac{e^{-(x-\mu)^2/\sigma^2}}{\sigma\sqrt{2\pi}}$$
(11)



شکل ۳- تغییرات تعداد قانونها و RMSE در مقابل تغییر مقدار شاعع دسته‌بندی

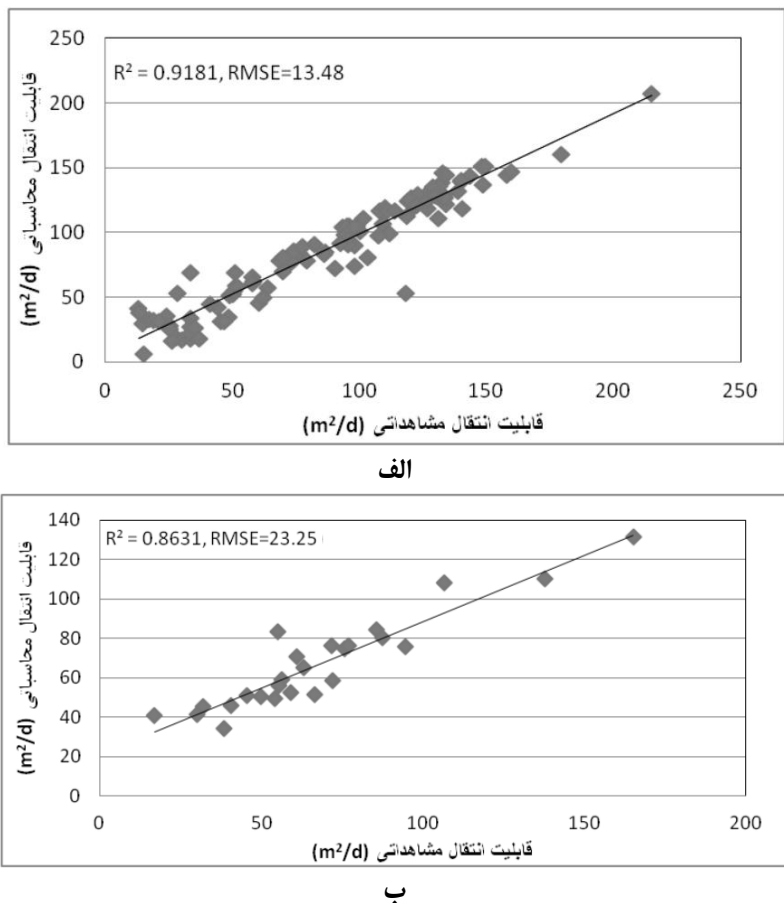


شکل ۴- نمونه ای از توابع عضویت متغیرها (Rt)



شکل ۵- نتایج مدل فازی، (الف) مرحله آموزش، (ب) مرحله آزمایش

تعداد نرون‌ها در لایه دوم سیگموید تانژانتی (Tansig) و در لایه سوم خطي (Purlin) می‌باشد. تعداد دوره‌های آموزش ۵۱ بوده و مقادیر ضریب همیستگی و RMSE برای مرحله آموزش و آزمایش (صحتسنجی) در شکل ۶ ارائه شده است. تعداد نرون‌ها در لایه میانی و خروجی به ترتیب سه و یک می‌باشد. برای آموزش شبکه از الگوریتم LM استفاده شد که جزئیات آموزش و فرایند محاسبه آن توسط (Boadu 1997;1998) و انجمان مهندسین عمران آمریکا ارائه شده است (ASCE, 2000). تابع

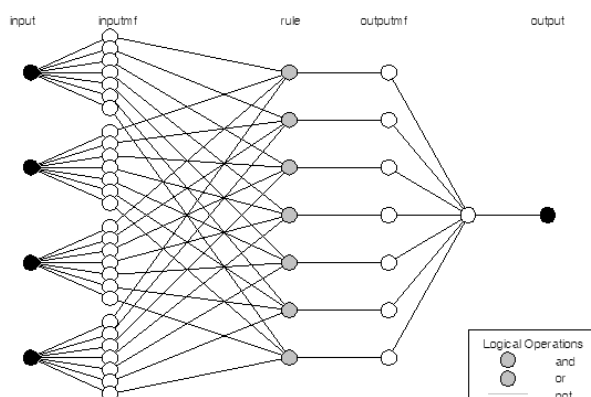


شکل ۶- نتایج مدل شبکه عصبی برای دو مرحله آموزش، آزمایش

#### ۴-۳- نتایج مدل هوش مصنوعی مركب

در اين مرحله هدف ايجاد مدل مركب با ضريب وزني برای هر يك از مدل هاي به کار رفته مي باشد که مي تواند نتایج بهتری در بی داشته باشد. در اين مرحله از روش الگوريتم بهينه سازی جامعه ذرات برای بهينه سازی و وزن دهی برای اين سه مدل استفاده شد.

مدل ديگري که در اين تحقيق مورد استفاده قرار گرفت ترکيب مدل فازی و شبکه عصبی بود که نوروفازی ناميده مي شود. در اين مدل از شبکه های عصبی مصنوعی برای بهينه سازی مدل فازی استفاده مي شود. در اين روش نيز همانند روش فازی از روش دسته بندی کاهشي استفاده شد و برای بهينه کردن پaramترهاي مدل از الگوريتم هيبريد استفاده شد.



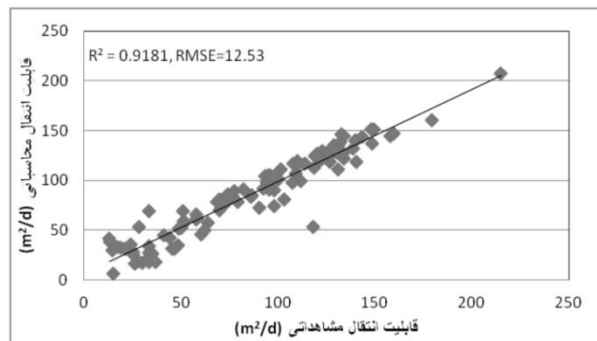
شکل ۷- ساختار شماتيک از سيسitem فازى.

این الگوريتم ترکيبي از الگوريتم های حداقل مربعات (Least square) و گراديان نزولی انتشار به عقب (Backpropagation gradient descent) می باشد. مدل ساگنوی بهينه شده با الگوريتم هيبريد پس از دو دوره آموزشی به مقدار بهينه رسيد. شکل ۷ ساختار شماتيک سيسitem نوروفازی را نشان مي دهد. براساس نتایج بدست آمده از مدل نوروفازی (شکل ۸) و مقایسه نتایج مدل های ديگر مشخص می شود که مدل شبکه های عصبی مصنوعی کارابي بالاتری نسبت به دو مدل قبلی دارد.

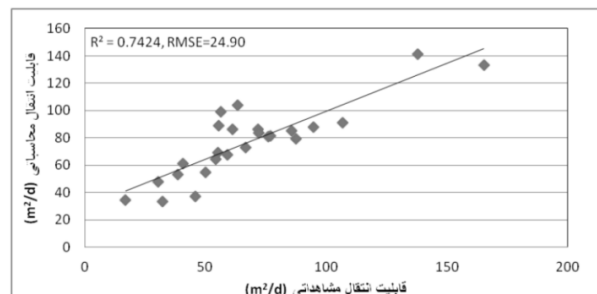
Kennedy (1998) پارامترهای شتاب را برای اولین نسخه الگوریتم جامعه ذرات به عنوان پیش فرض، مقادیر  $c_1 = c_2 = 2$  پیشنهاد کرده است، اما نتایج تجربی نشان می‌دهد که مقادیر  $c_1 = c_2 = 0.5$  ممکن است نتایج بهتری را حاصل نماید. تحقیقات نشان می‌دهد که ممکن است انتخاب پارامتر شناختی،  $c_1$ ،  $c_1 + c_2 \leq 4$  بزرگتر از پارامتر اجتماعی،  $c_2$ ، با این شرط که  $r_1$  و  $r_2$  برای حفظ نوع و گوناگونی گروه بکار می‌روند و آنها اعداد تصادفی در محدوده (۰،۱) با توزیع یکنواخت هستند.

پس از مشخص شدن محدودیتهای مسئله وتابع پنالتی، به منظور انجام آنالیز حساسیت مدل الگوریتم جامعه ذرات ترکیب‌های مختلف از هر پارامتر در نظر گرفته شد. در این آنالیز با در نظر گرفتن مقادیر مختلف برای  $C_1$  و  $C_2$  (پارامترهای شناختی و اجتماعی)،  $W_{min}$  و  $W_{max}$  و بعد از ۱۰ بار اجرای مدل، بهترین مقادیر این پارامترها با توجه به کمترین مقدار تابع هدف به ترتیب  $0.05$  و  $0.01$  بدست آمد. البته پارامتر اینرسی وزنی حساسیت چندانی از خود نشان نداد. شکل ۹ آنالیز حساسیت پارامترهای شناختی و اجتماعی را نشان می‌دهد.

پس از شناخت پارامترهای مدل، اقدام به بهینه سازی و بدست آوردن وزنها شد. بهترین جمعیت اولیه نیز ۲۰۰ انتخاب شد که در بهینه‌ترین حالت مقدار RMSE برای داده‌های آموزش برابر با  $10/47$  مترمربع بر روز بود. همانگونه که در رابطه (۱۴) نشان داده شده است، وزنهای خروجی مدل‌های فازی  $\hat{T}_{FL}$ ، نوروفازی  $\hat{T}_{NF}$ ، شبکه عصبی  $\hat{T}_{ANN}$  به ترتیب  $0/297$ ،  $0/292$ ، و  $0/419$  به دست آمد.



الف



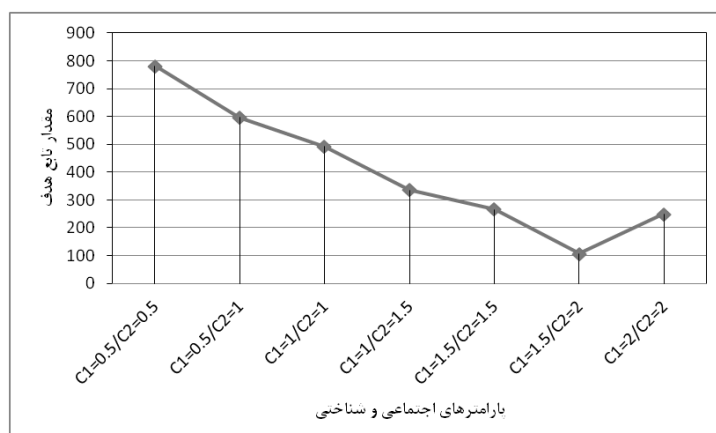
ب

شکل ۸- نتایج مدل نوروفازی، (الف) مرحله آموزش، (ب) مرحله آزمایش

بدین منظور تابع برازش به صورت رابطه (۱۳) تعریف می‌شود:

$$MSE CM = \sum_{i=1}^k 1/k (w_1 \hat{T}_{1i} + w_2 \hat{T}_{2i} + w_3 \hat{T}_{3i} - T_i)^2 \quad (13)$$

این تابع مقدار خطای مدل مرکب را برای پیش‌بینی مرحله آموزش نشان می‌دهد، به طوری که  $w_1$  و  $w_3$  به ترتیب وزن مدل‌های فازی، نوروفازی، و شبکه عصبی مصنوعی و مقادیر مشاهداتی و  $n$  تعداد داده‌های آموزشی (۱۰۹ نمونه) را نشان می‌دهد. الگوریتم جامعه ذرات همانند روش‌های بهینه سازی ابتکاری و هوش مصنوعی بهینه سازی نیاز به تعیین پارامترهای مناسب مدل دارد.



شکل ۹- آنالیز حساسیت پارامترهای اجتماعی و شناختی

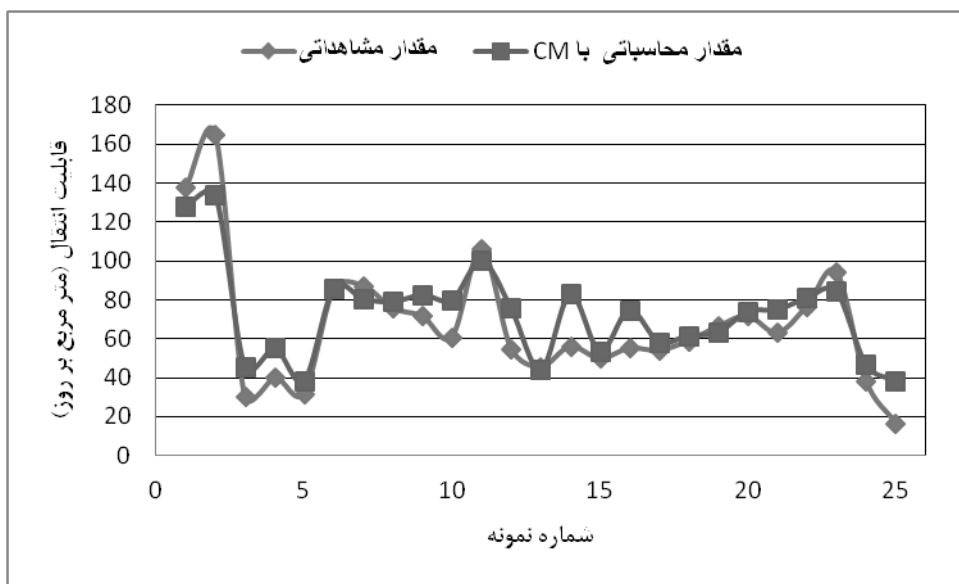
آزمایش با استفاده از مدل شبکه‌های عصبی مصنوعی حاصل شد. به کمک وزنهای بهینه به دست آمده از الگوریتم جامعه ذرات برای سه مدل فوق (به ترتیب  $0/918$ ,  $0/9181$  و  $0/9182$ ) باعث افزایش کارایی  $R^2=0/9$  و  $RMSE=15/2$  به  $R^2=0/86$  و  $RMSE=23/25$  مدل‌ها از  $0/918$  باعث افزایش کارایی  $R^2=0/9$  و  $RMSE=15/2$  به  $R^2=0/86$  و  $RMSE=23/25$  مدل‌ها می‌شوند و با وجود داده‌های محدود به خصوص برای مدل شبکه‌های عصبی مصنوعی، مدل‌های مرکب می‌توانند روشی مناسب برای پیش‌بینی و برآورد پارامترهای هیدرولوژیکی باشند. لذا با توجه به هزینه‌های بالای آزمایشهای صحرایی پیش‌بینی قابلیت انتقال در آبخوانها می‌توان از مدل مرکب ارائه شده و با استفاده از داده‌های ژئوفیزیکی و هدایت الکتریکی سود جست، که می‌تواند نتایج نسبتاً دقیقی هم در پی داشته باشد. خطای موجود در مدل نهایی به عوامل مختلفی بستگی دارد، از آن جمله می‌توان به تعداد محدود داده‌ها، هetrozinitی آبخوان و خطای ذاتی موجود در داده‌های ورودی و حتی داده‌های خروجی اشاره کرد. افزایش دقت داده‌های ژئوفیزیکی و آزمایش پمپاژ در آبخوانها می‌تواند در کاهش خطای موجود در مدل ارائه شده موثر باشد.

$$\widehat{T_{CM}} = 0.297 \times \widehat{T_{FL}} + 0.292 \times \widehat{T_{NF}} + 0.419 \widehat{T_{ANN}} \quad (14)$$

با به کارگرفتن وزنهای به دست آمده به صورت فرمول فوق برای داده‌های مرحله آزمایش، مقادیر پیش‌بینی شده برای مدل هوش مصنوعی مرکب ارائه شده بدست آمد، به طوری که مقدار  $R^2$  و  $RMSE$  مدل برابر  $15/2$  و  $0/9$  می‌باشد. شکل ۱۰ نتایج نهایی را برای مدل فوق نشان می‌دهد. مقایسه نتایج مدل‌های مختلف با مدل CM در جدول ۲ ارائه شده است.

#### ۴- نتیجه گیری

نتایج مدل هوش مصنوعی مرکب ارائه شده، شامل مدل‌های فازی، نوروفازی، و شبکه عصبی مصنوعی که توسط مدل الگوریتم جامعه ذرات همبستگی بین مقادیر مشاهداتی و محاسباتی قابلیت انتقال در برقرار می‌شود، قابلیت بالایی در پیش‌بینی مقادیر قابلیت انتقال در آبخوانها دارد. نتایج مدل‌های فازی، نوروفازی، و شبکه عصبی مصنوعی بدست آمده نشان می‌دهد که نتایج دقیق‌تری در مرحله



شکل ۱۰- نتایج مدل مرکب ارائه شده برای داده‌های مرحله آموزش

جدول ۲- مقایسه نتایج مدل‌های مختلف با مدل CM

مرحله	معیار ارزیابی	مدل	مدل	مدل
آموزش	$R^2$	$0/9067$	$0/918$	$0/9181$
	$RMSE$	$14/01$	$13/48$	$12/53$
آزمایش	$R^2$	$0/7624$	$0/8631$	$0/7424$
	$RMSE$	$23/53$	$23/25$	$24/9$

## پی نوشت

- 1- Slug test.
- 2- Annealing simulation.
- 3- Fuzzy logic
- 4- Activation Function
- 5- Feedforward Network
- 6- Back Propagation Algorithm
- 7- Conjugate Gradient Algorithm
- 8- Levenberg-Marquardt
- 9- Neurofuzzy
- 10- Particle Swarm optimization
- 11- Inertia Weight
- 12- Cauchy's inequality

## ۵- مراجع

- اصغری مقدم، الف، ندیری، ع. و نورانی، و (۱۳۸۷). "مدل سازی بارش دشت تبریز با استفاده از شبکه‌های عصبی مصنوعی." مجله دانش کشاورزی. جلد ۱۸ شماره ۱.
- اصغری مقدم، الف، ندیری، ع. و فیجانی، الف. (۱۳۸۹). "استفاده از مدل‌های شبکه‌های عصبی مصنوعی و زمین‌آمار برای پیش‌بینی مکانی غلظت فلورید". مجلة دانش آب-خاک. سال ۱۹/۱ شماره ۲ ص ۱۴۵-۱۲۹.
- مهندسين مشاور صحراء، (۱۳۸۷). "مطالعات ژئوفیزیک دشت‌های تبریز، تسوج و هادیشهر". سازمان آب منطقه‌ای آذربایجان شرقی.
- ندیری، ع.، اصغری مقدم، الف. و فیجانی، الف. (۱۳۸۷). "پیش‌بینی مکانی هدایت هیدرولیکی در محدوده متروی شهر تبریز". دوازدهمین همایش انجمن زمین‌شناسی ایران، اهواز ۳۰ بهمن تا ۲ اسفند.
- ندیری، ع. و اصغری مقدم، الف. (۱۳۸۹). "استفاده از روش‌های آماری چند متغیره در مطالعه فرآیندهای هیدرولیکی آبخوانها، مطالعه موردی: دشت تسوج". چهاردهمین همایش انجمن زمین‌ایران و بیست و هشتمین گردهمایی علوم زمین، دانشگاه ارومیه ۲۵ تا ۲۷ شهریور.
- Abbaspour, K.C., Schulin, R. and Van Genuchten, M. (2001). Estimating unsaturated soil hydraulic parameters using ant colony optimization. *Advances in Water Resources*, 24(8), pp. 827-841.
- Alyamani, M. and Sen, Z. (1993). Determination of hydraulic conductivity from complete grain size distribution curves. *Ground Water*, 31(4), pp. 551-555.

- Li, Sh., Liu, Y. and Yu, H. (2006). Parameter Estimation Approach in Groundwater Hydrology Using Hybrid Ant Colony System. Lecture Notes in Computer Science, *Springer Berlin*.
- Lim, J.-S. (2005). Reservoir properties determination using fuzzy logic and neural networks from well data in offshore Korea. *Journal of Petroleum Science and Engineering*, 49(3-4), pp.182–192.
- Maier H. R. , Jain, A., Dandy, G. C. and Sudheer, K.P. (2010). Methods used for the development of neural networks for the prediction of water resource variables in river systems: Current status and future directions. *Environmental Modelling & Software*, 25(8), pp. 891-909.
- Maier, H.R. and Dandy, G.C. (2000). Neural network for the prediction and forecasting water resources variables: a review of modeling issues and applications. *Environmental Modeling & Software*, 15(3), pp. 101-124.
- Maillet, R. (1947). The fundamental equations of electrical prospecting. *Geophysics*, 12(4), pp. 529-556.
- Mategaonkar, M. and Eldho, T.I. (2012). Groundwater remediation optimization using a point collocation method and particle swarm optimization. *Environmental Modelling & Software*, 32, pp. 37-48.
- Myers, D. E. (1991). Pseudocross-variograms, posotive-definiteness and cokriging. *Mathematical Geology*, 23(6), pp. 805-816.
- Naftaly, U., Intrator, N. and Horn, D. (1997). Optimal ensemble averaging of neural networks. *Computation in Neural Systems*, 8(3), pp. 283–296.
- Neuman, S. P. (1972). Theory of flow in unconfined aquifers considering delayed response of water table, *Water Resources Research*, 8(4), pp. 1031-1045.
- Nikravesh, M. and Aminzadeh, F. (2003). Soft Computing and Intelligent Data Analysis in Oil Exploration. Part1: Introduction: Fundamentals of Soft Computing. *Elsevier, Berkeley, USA*, 744 p.
- Samani, N., Gohari-Moghadam, M. and Safavi, A. A. (2007). A simple neural network model for the determination of aquifer parameters. *Journal of Hydrology*, 340(1-2), pp. 1-11.
- Shepherd, R. G. (1989). Correlations of permeability and grain size. *Ground Water*, 27(5), pp. 633-638.
- Shi Y. and Eberhart R. (1999). Empirical study of particle swarm optimization, *Proceeding IEEE International Congers Evolutionary Computation, Washington, DC., USA*, pp. 1945-1950.
- Haykin, S. (1991). Neural Networks: A Comprehensive Foundation. *Englewood Cliffs, NJ*, 842p.
- Hazen, A. (1892). Some physical properties of sands and gravels. *Massachusetts State Board of Health 24th Annual Report*. pp. 539-556.
- Hopfield, J. J. (1982). Neural network and physical systems with emergent collective computational abilities. *Proc. Nat. Academy of Scientists*, 79, pp.2554-2558.
- Huang, Y., Gedeon, T.D. and Wong, P.M. (2001). An integrated neural-fuzzy- genetic-algorithm using hyper-surface membership functions to predict permeability in petroleum reservoirs. *Engineering Applications of Artificial Intelligence* 14(1), pp.15–21.
- Huang, Z. and Williamson, M.A. (1996). Artificial neural network modeling as an aid to source rock characterization. *Marine and Petroleum Geology*, 13(2), pp. 227–290.
- Hvorslev, M. G. (1951). Time lag and soil permeability in groundwater observations. *Bulletin No. 36, US Army Corps of Engineering, Waterways Experiments Stations, Vicksburg, Mississippi*. 49p.
- Jarrah, O.A. and Halawani, A. (2001). Recognition of gestures in Arabic sign language using neuro-fuzzy systems. *Artificial Intelligence* 133(1-2), pp. 117–138.
- Kadkhodaie-Iikhchi, A., Rezaee, M. R. and Rahimpour-Bonab, H. (2009). A committee neural network for prediction of normalized oil content from well log data: An example from South Pars GasField, Persian Gulf. *Journal of Petroleum Science and Engineering* 65(1-2), pp. 23-32.
- Karimouli, S., Fathianpour, N. and Roohi, J. (2010). A new approach to improve neural networks' algorithm in permeability prediction of petroleum reservoirs using supervised committee machine neural network (SCMNN). *Journal of Petroleum Science and Engineering*, 73(3-4), pp. 227–232.
- Kennedy, J. (1998). The behavior of particles. In: Porto VW, Saravanan N, Waagen D and Eiben AE (eds) *Evolutionary Programming VII*, *Springer*, pp. 581-590.
- Kennedy, J., and Eberhart R. (1995). Particle Swarm Optimization. In: *Proceedings of the International Conference on Neural Networks, Perth, Australia, IEEE, Piscataway*.
- Li, Sh. and Liu, Y. (2005). Parameter Identification Procedure in Groundwater Hydrology with Artificial Neural Network. *Advances in Intelligent Computing*, *Springer Berlin*, 971p.

- Theis, C. V. (1935). The relationship between the lowering of piezometric surface and the rate and duration of discharge of a well using groundwater storage. *Transactions, American Geophysical Union*, 16(2), pp. 519-524.
- Todd, D. K. and Mays, L. W. (2005). Groundwater Hydrology. Wiley, 3 edition. 656 p.
- Valcarce, R. M. O. and Rodríguez, W. M. (2004). Resolution power of well log geophysics in karst aquifers. *Journal of Environmental Hydrology*. 12, pp. 1-7.
- Shi, Y. and Eberhart R. (1998). A modified Particle Swarm Optimizer, *Proceeding of the 1998 IEEE Conference on Evolutionary Computation*. AK, Anchorage.
- Shiri, J. and Kişi, Ö. (2011). Comparison of genetic programming with neuro-fuzzy systems for predicting short-term water table depth fluctuations. *Computers & Geosciences*, 37(10), pp. 1692-1701
- Sperry, M. S. and Peirce, J. J. (1995). A model for estimating the hydraulic conductivity of granular material based on grain shape, grain size and porosity. *Ground Water*, 33(2), pp. 892-898.